

# 一种永磁同步电动机转子初始位置检测方法

何栋炜<sup>ý</sup>,方仁桂<sup>ý</sup>,高培<sup>é</sup>

(yú福建工程学院,福州 ÈøþýyÆÉÙ 福建省计量科学研究院,福州 ÈøþþkÈÉÙ 福建对外经济贸易职业技术学院,福州 Èøþþy )

**摘要:**针对永磁同步电动机转子初始位置检测问题,利用估计坐标系下输入高频电压,永磁同步电动机响应电流包含转子位置信息的特性,提出了一种检测方法**þ**并使用**Matlab/Simulink**工具箱来建立仿真模型,对所提出方法的正确性及性能进行验证**þ**仿真实验表明:所提出方法可以快速准确地检测出永磁同步电动机转子初始位置,并且方法简单无需设计滤波器,所需计算量很少,检测过程时间不受转子位置等因素影响,符合工程应用要求**þ**

关键词:永磁同步电动机;转子初始位置检测;高频信号注入;磁极判断

中图分类号: u651.54; u651.5 文献标识码: δ 文章编号: ykbnn008y0y0y0y0y0y0y0y0y

ðéÆéæçæîäñêçéíÑéïæçæééÝðçðìçæééÓçíîçðèÚÜéíÑøÓø

øÜÊüûúÚÍàñ ſ̄, ii÷ööìàûÚúÖñ ſ̄, ñ÷ÙÌàñ È

引言

永磁同步电动机控制中,永磁转子位置信息或多或少影响着系统运行性能<sup>[1]</sup> 而大量应用增量式编码器和无传感器技术的永磁同步电动机控制系统中,转子初始位置检测结果直接决定了系统的正常起动与运行性能,因此转子初始位置检测问题得到了广大研究人员的关注<sup>[2]</sup> 永磁同步电动机初始位置检测要求在静止情况下获取转子的初始位置<sup>[3]</sup>,现有方法大致可分为开环与闭环两种方法<sup>[4]</sup>

开环方法是指利用传感器获得电机的响应信号，间接地推算出转子初始位置。最简单的开环方法即霍尔传感器方法，其检测精度由传感器的安装密度直接决定。此外，常见的旋转高频信号注入法也属于该类<sup>[4]</sup>，并且在此基础上发展出了基于零序电压<sup>[5]</sup>、电压脉冲注入<sup>[6]</sup>、转子估计坐标系下高频频

信号<sup>[a]</sup>等开环方法

闭环方式是指利用传感器获取当前估计位置上输入激励下(一般是输入电压)电机的响应信号(响应电流),根据这些信号通过一定的算法获取当前估计位置与真实位置的偏差信息,并通过一定算法( $\hat{I}_y$ 锁相环等)调整输入激励,使得估计位置不断逼近实际位置 $\hat{p}$

理论上闭环方法可以获得无穷高的检测精度,但实际上受到 $\pm\%$ 采样精度及 $D\ddot{O}l\acute{i}\acute{x}$ 输出精度等因素影响,检测精度有限。开环方法的检测结果同样受以上因素影响,并且容易受到噪声等因素影响。在检测时间方面,闭环方法的检测时间一般不固定,受转子实际位置和算法收敛速度等因素影响,而开环方法的检测时间一般为固定(由算法复杂度决定,不随转子实际位置等因素变化)。此外,一般开环方法的程序实现相比闭环方法相对简单,易于实现。

本文利用永磁同步电动机在转子估计坐标系下高頻信号注入时,响应电流与估计位置间的三角函数关系,提出一种检测方法:在两个位置进行高頻信

收稿日期: 1998-06-01

基金项目:福建省中青年教师教育科研项目(科技 ó类)(J04yjzpE);福建工程学院科研启动基金项目(FuÄyÉypý )

号注入,使用所设计的算法从响应电流中推算出转子位置,并通过仿真实验验证方法的正确性及性能。

## 1.1 检测方法原理

### 1.1.1 永磁同步电动机静止时相量形式电压方程

永磁同步电动机在  $\alpha\beta$  坐标系下的电压方程:

$$\begin{bmatrix} \dot{\alpha}_a \\ \dot{\alpha}_b \end{bmatrix} = \frac{7}{6} \begin{bmatrix} i_a \dot{n}_a & \dot{e}_a \dot{n}_a \\ i_b \dot{n}_b & \dot{e}_b \dot{n}_b \end{bmatrix} + \frac{7}{5} \begin{bmatrix} \dot{n}_a & \dot{e}_a \\ \dot{n}_b & \dot{e}_b \end{bmatrix} \quad (1)$$

式中: $\dot{\alpha}_a, \dot{\alpha}_b$  分别是定子电压在  $\alpha, \beta$  轴上的分量; $\dot{n}_a, \dot{n}_b$  分别是定子电流在  $\alpha, \beta$  轴上的分量; $i_a, i_b$  为绕组电阻; $\dot{e}_a, \dot{e}_b$  分别是电机电感在  $\alpha, \beta$  轴上的分量; $\delta$  为电机转子永磁体磁链; $\omega$  为转子电角速度。

静止情况下电压方程:

$$\begin{bmatrix} \dot{\alpha}_a \\ \dot{\alpha}_b \end{bmatrix} = \frac{7}{6} \begin{bmatrix} i_a \dot{n}_a & \dot{e}_a \dot{n}_a \\ i_b \dot{n}_b & \dot{e}_b \dot{n}_b \end{bmatrix} \quad (2)$$

考虑稳态时,电压方程记作相量形式:

$$\begin{bmatrix} \dot{\alpha}_a \\ \dot{\alpha}_b \end{bmatrix} = \frac{7}{6} \begin{bmatrix} i_a \hat{e}^* \hat{y}_a \\ i_b \hat{e}^* \hat{y}_b \end{bmatrix} \quad (3)$$

记  $\hat{u}_a = \hat{E}_a - 3\hat{y}_a \hat{E}$ ,  $\hat{u}_b = \hat{E}_b - 3\hat{y}_b \hat{E}$ ,  $|\hat{u}_a| \div |\hat{u}_b|$ , 可以得到:

$$\begin{bmatrix} \dot{\alpha}_a \\ \dot{\alpha}_b \end{bmatrix} = \frac{7}{6} \begin{bmatrix} \hat{u}_a \\ \hat{u}_b \end{bmatrix} \quad (4)$$

记实际位置为  $\bar{y}$ ,估计位置为  $\hat{y}$ ,估计误差:  $\bar{y} - \hat{y}$ 。

则  $\alpha\beta$  坐标系与估计位置坐标系间有如下关系:

$$\begin{bmatrix} \dot{\alpha}_a \\ \dot{\alpha}_b \end{bmatrix} = \hat{A} \begin{bmatrix} \dot{\alpha}_{\hat{y}} \\ \dot{\alpha}_{\hat{y}} \end{bmatrix} = \begin{bmatrix} \hat{e}^* \bar{y} & \hat{e}^* \bar{y} \\ \hat{e}^* \bar{y} & \hat{e}^* \bar{y} \end{bmatrix} \begin{bmatrix} \dot{\alpha}_{\hat{y}} \\ \dot{\alpha}_{\hat{y}} \end{bmatrix} \quad (5)$$

将电压方程转换到估计位置坐标系下:

$$\begin{bmatrix} \dot{\alpha}_a \\ \dot{\alpha}_b \end{bmatrix} = \frac{7}{6} \begin{bmatrix} \hat{u}_a \\ \hat{u}_b \end{bmatrix} = \frac{7}{6} \begin{bmatrix} \hat{u}_a - \hat{y}_a \hat{E} \\ \hat{u}_b - \hat{y}_b \hat{E} \end{bmatrix} = \frac{7}{6} \begin{bmatrix} \hat{u}_a \\ \hat{u}_b \end{bmatrix} - \frac{7}{6} \begin{bmatrix} \hat{y}_a \hat{E} \\ \hat{y}_b \hat{E} \end{bmatrix} \quad (6)$$

式中:  $\hat{u} = \hat{E} - \hat{y}_a \hat{E} - \hat{y}_b \hat{E}$ ,  $\hat{u} = (\hat{u}_a + \hat{u}_b) \hat{E}$ ,  $[\hat{u} - (\hat{y}_a + \hat{y}_b) \hat{E}] \div \hat{u} \hat{E}$

由于结构上的不同,内埋式永磁同步电动机( $D$ )具有明显的凸极效应,即  $\hat{y}_a \neq \hat{y}_b$ ,  $\hat{u} \neq \hat{y}$ 。由式(6)响应电流包含转子位置信息( $\bar{y}$ );而理论上海贴式永磁同步电动机( $D$ )不具有凸极效应,即  $\hat{y}_a = \hat{y}_b$ ,  $\hat{u} = \hat{y}$ ,显然,电流信号不含转子位置

信息。但是通常使主磁路在空载条件下已处于基本饱和状态,故其存在饱和性凸极,因此  $D$  也可认为具有一定的凸极效应。<sup>[1]</sup>

### 1.1.2 转子初始位置检测方法

在某一假定转子位置  $\hat{y}_e$  下选择注入信号:

$$\begin{bmatrix} \dot{\alpha}_a \\ \dot{\alpha}_b \end{bmatrix} = \begin{bmatrix} \hat{O}_a \sin(\omega_e t) \\ \hat{O}_b \end{bmatrix} \quad (7)$$

式中: $\hat{O}_a$  为注入的电压信号幅值; $\omega_e$  为信号的角频率。记作相量形式:

$$\begin{bmatrix} \dot{\alpha}_a \\ \dot{\alpha}_b \end{bmatrix} = \frac{7}{6} \begin{bmatrix} \hat{O}_a \sin(\omega_e t) \\ \hat{O}_b \end{bmatrix} \quad (8)$$

则式(8)可以记作如下:

$$\begin{bmatrix} \dot{\alpha}_a \\ \dot{\alpha}_b \end{bmatrix} = \frac{7}{6} \begin{bmatrix} \hat{O}_a \sin(\omega_e t) \\ \hat{O}_b \end{bmatrix} = \frac{7}{6} \begin{bmatrix} \hat{O}_a \sin(\bar{y}_e) & \hat{O}_a \cos(\bar{y}_e) \\ \hat{O}_b \sin(\bar{y}_e) & \hat{O}_b \cos(\bar{y}_e) \end{bmatrix} \quad (9)$$

进一步有:

$$\begin{bmatrix} \dot{\alpha}_a \\ \dot{\alpha}_b \end{bmatrix} = \frac{7}{6} \begin{bmatrix} \hat{O}_a \sin(\bar{y}_e) \\ \hat{O}_b \sin(\bar{y}_e) \end{bmatrix} = \frac{7}{6} \begin{bmatrix} \hat{O}_a \cos(\bar{y}_e) \\ \hat{O}_b \cos(\bar{y}_e) \end{bmatrix} \quad (10)$$

由  $\hat{O}_a$  易得到瞬时表达形式:

$$\hat{O}_a = \hat{O}_a \cos(\bar{y}_e) + \hat{O}_a \sin(\bar{y}_e) \quad (11)$$

式中: $\bar{y}_e$  为假定转子位置  $\hat{y}_e$  对应估计误差, $\bar{y}_e = \bar{y} - \hat{y}_e$ ,  $\hat{O}_a = \hat{O}_a \cos(\bar{y}_e) + \hat{O}_a \sin(\bar{y}_e)$ , 由于  $\hat{y}_a \neq \hat{y}_b$ , 显然有  $\hat{O}_a \neq \hat{O}_b$ 。

对式(11)进行处理可以得到:

$$\hat{O}_a = \hat{O}_a \cos(\bar{y}_e) + \hat{O}_a \sin(\bar{y}_e) = \hat{O}_a \cos(\bar{y}_e) + \hat{O}_a \sin(\bar{y}_e) \quad (12)$$

通常,电流采样频率与注入信号频率为整数倍数关系,因此使用离散傅里叶( $DFT$ )方法可以很容易分离出其中的直流分量的幅值,即:

$$|\hat{O}_a| = |\hat{O}_a \cos(\bar{y}_e) + \hat{O}_a \sin(\bar{y}_e)| = \sqrt{|\hat{O}_a \cos(\bar{y}_e)|^2 + |\hat{O}_a \sin(\bar{y}_e)|^2} \quad (13)$$

记:

$$|\hat{O}_a| = \sqrt{|\hat{O}_a \cos(\bar{y}_e)|^2 + |\hat{O}_a \sin(\bar{y}_e)|^2} \quad (14)$$

因此有:

$$|\hat{O}_a| = \sqrt{|\hat{O}_a \cos(\bar{y}_e)|^2 + |\hat{O}_a \sin(\bar{y}_e)|^2} \quad (15)$$

当前估计位置基础上,在  $\hat{y}_e \rightarrow \hat{y}$  位置上注入

相同信号,同理可以得到:

$$\left[ \hat{e} \left( \hat{y}_e \hat{e} \frac{\dot{u}}{\ddot{u}} \right) \hat{o} \hat{o} \hat{o} \right]_{\text{采样}} = \hat{i}_{\text{采样}} = \hat{e} \hat{o} \hat{o} (\hat{y} \hat{y}_e) \quad (1)$$

结合式(1)式(1),易得:

$$\hat{y} \hat{y}_e = \frac{\hat{i}_{\text{采样}} - \hat{e} \hat{o} \hat{o} (\hat{y} \hat{y}_e)}{\hat{e} \hat{o} \hat{o} (\hat{y} \hat{y}_e)} \quad (2)$$

$$\hat{y}_e = \hat{y} - \hat{y} \hat{y}_e \quad (3)$$

即利用两次信号注入的响应电流可以计算得到实际位置与当前估计位置的误差关系 $\hat{y} \hat{y}_e$ ,再由式(3)计算得到初步检测结果 $\hat{y}_e$ 。受转子凸极对称特性影响,初步检测结果可能落在实际位置(即 $\theta_e/4$ )上,因此检测结果需要结合转子磁极位置进行修正,获得最终检测结果 $\hat{y}_e$ 。<sup>[1]</sup>综上所述,本文提出检测方法的实施流程如图4所示。

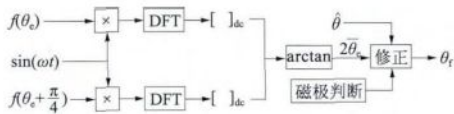


图4 本文提出检测方法框图

## 5 仿真结果及分析

本文利用MATLAB/Simulink工具箱来建立仿真模型,并完成仿真实验验证所提出方法的正确性及性能。由于MATLAB/Simulink所提供的永磁同步电动机模型不具有实际中的磁路饱和特性,因此为仿真方便,选择IPM作为仿真对象,实验电机参数为:额定功率10kW,额定转速1800r/min,绕组电阻0.05Ω,α轴电感为0.015H,β轴电感为0.015H,转子磁链0.015Wb,极对数2,频率为50Hz,仿真步长为0.001s。选择注入电压信号的频率为50Hz,幅值为0.05V。选取初始估计位置: $\hat{y}_e=0$ 。考虑到电流响应的暂态过程,两次激励分别持续0.05s,计算选取最后一个周期的电流采样结果进行计算。

以实际转子位置为0°时为例,对采样电流进行坐标系变化可以获得如图5所示的波形,选取两个电流响应的最后一个周期的采样结果进行计算,结合记录下的对应 $\hat{o}$ 进一步得到如图6所示 $\hat{y}_e=\hat{o}$ 和 $\hat{y}_e=0$ 与 $\hat{o}$ 对这两个结果应

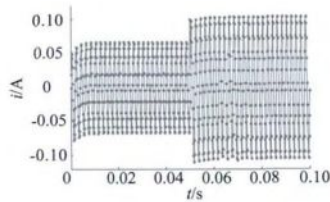


图5 β轴电流

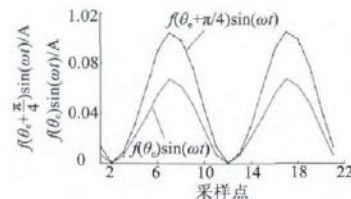


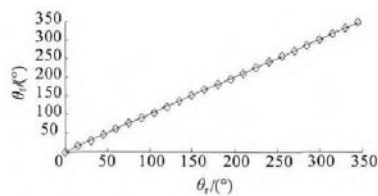
图6 过程计算结果

用式(4)最终获得初步的检测结果 $\hat{y}_e$ ,再结合磁极判断结果最终获得检测结果 $\hat{y}_e$ 。

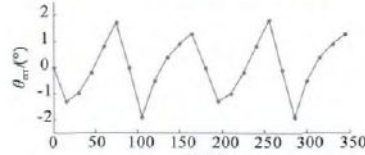
对一个永磁同步电动机的一个电角度周,进行间隔 $\Delta\theta_e$ 的转子位置进行测试,结果如表1和图7所示。由图7可以看出,使用本文提出算法得到的检测结果与实际位置基本一致,结合表1和误差图8(i)(j)可知,检测误差小于 $5^\circ$ ,满足永磁同步电动机的起动要求。

表1 实验结果

$\hat{o}_e$ (°)	$\hat{y}_e$ (°)	$\delta_A$ (°)	$\delta_e$ (°)	$\delta_{abs}$ (°)
0	0.0	0.0	0.0	0.0
90	90.0	90.0	90.0	90.0
180	180.0	180.0	180.0	180.0
270	270.0	270.0	270.0	270.0
360	360.0	360.0	360.0	360.0
450	450.0	450.0	450.0	450.0
540	540.0	540.0	540.0	540.0
630	630.0	630.0	630.0	630.0
720	720.0	720.0	720.0	720.0
810	810.0	810.0	810.0	810.0
900	900.0	900.0	900.0	900.0
990	990.0	990.0	990.0	990.0
1080	1080.0	1080.0	1080.0	1080.0
1170	1170.0	1170.0	1170.0	1170.0
1260	1260.0	1260.0	1260.0	1260.0
1350	1350.0	1350.0	1350.0	1350.0
1440	1440.0	1440.0	1440.0	1440.0
1530	1530.0	1530.0	1530.0	1530.0
1620	1620.0	1620.0	1620.0	1620.0
1710	1710.0	1710.0	1710.0	1710.0
1800	1800.0	1800.0	1800.0	1800.0
1890	1890.0	1890.0	1890.0	1890.0
1980	1980.0	1980.0	1980.0	1980.0
2070	2070.0	2070.0	2070.0	2070.0
2160	2160.0	2160.0	2160.0	2160.0
2250	2250.0	2250.0	2250.0	2250.0
2340	2340.0	2340.0	2340.0	2340.0
2430	2430.0	2430.0	2430.0	2430.0
2520	2520.0	2520.0	2520.0	2520.0
2610	2610.0	2610.0	2610.0	2610.0
2700	2700.0	2700.0	2700.0	2700.0
2790	2790.0	2790.0	2790.0	2790.0
2880	2880.0	2880.0	2880.0	2880.0
2970	2970.0	2970.0	2970.0	2970.0
3060	3060.0	3060.0	3060.0	3060.0
3150	3150.0	3150.0	3150.0	3150.0
3240	3240.0	3240.0	3240.0	3240.0
3330	3330.0	3330.0	3330.0	3330.0
3420	3420.0	3420.0	3420.0	3420.0
3510	3510.0	3510.0	3510.0	3510.0
3600	3600.0	3600.0	3600.0	3600.0



(a) 检测结果与实际位置关系



(b) 误差分析

图7 实验结果

ú 结语

本文提出了一种永磁同步电动机转子初始位置检测方法，并通过仿真实验进行验证和分析研究。结果表明：该方法在原有系统基础上，无需电机参数等附加条件，只需要在两个位置上对电机进行高频信号注入，就可以快速且准确地检测出转子初始位置。此外，该方法简单计算量小，易于工程实现。理论上该方法也适用于  $\alpha\tilde{\alpha}\tilde{\alpha}$ ，因此有待于在  $\alpha\tilde{\alpha}\tilde{\alpha}$  上进行考察。

参考文献

- ¶ 王成元《电机现代控制技术》[M].北京:机械工业出版社,  
1998年.
  - ¶ 陈国良、王成元、李永华编著《变频器应用与维修》[M].北京:  
电子工业出版社,2000年.
  - ¶ 陈国良、王成元、李永华编著《变频器原理与应用》[M].北京:  
电子工业出版社,2001年.

(上接第  $\hat{E}^N$  页)

$\ddot{u}$   $\ddot{\text{ç}}$ ,  $\ddot{o}$   $\ddot{\text{ç}}$ , 分别计算它们在  $\ddot{u}$   $\ddot{\text{ç}}$  时的齿槽转矩, 并将三条曲线绘制于同一图中, 如图  $\ddot{u}$  所示。

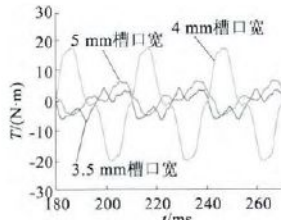


图 6-10 变槽口宽度时电机的齿槽转矩

从图  $\hat{u}$  中可以看出,当改变槽宽时,电机的合成齿槽转矩发生明显变化。当槽宽为  $\hat{E}\epsilon\theta \text{ } \hat{c} \hat{c}$  时齿槽转矩最小,为  $\hat{u}\epsilon\hat{e}\hat{u}\hat{y} \text{ } \hat{o} \hat{u} \text{ } \hat{c}$ ;槽宽为  $\theta \text{ } \hat{c} \hat{c}$  时,齿槽转矩为  $\hat{u}\epsilon\hat{e}\hat{o}\hat{y} \text{ } \hat{o} \hat{u} \text{ } \hat{c}$ ;槽宽为  $\hat{u} \text{ } \hat{c} \hat{c}$  时齿槽转矩最大,为  $\hat{y}\hat{N}\hat{e}\hat{y}\hat{y} \text{ } \hat{o} \hat{u} \text{ } \hat{c}$ 。由此可见,在极弧系数最优 $\hat{y}$ 爪极偏移时,进一步改变槽宽可以继续减小齿槽转矩。

如果槽口宽度为  $\sigma_{\text{c}} \ll 1$  保持不变, 优化极弧系数, 得出当  $\sigma_{\text{c}} = 1$  时, 齿槽转矩最小, 为  $\sigma_{\text{c}} = 1$  时的  $\sigma_{\text{c}}$  倍。

虽然上述的分析是在将聚磁式永磁爪极电机简化为二维模型的基础上得到的,但文献[6]已验证了简化模型的有效性,因此分析所得结果也是可信的。

- [1] 韦鲲,金辛海.表面式永磁同步电机初始转子位置估计技术[J].中国电机工程学报,1996,16(10):1-5.
  - [2] 王冉娟,刘恩海.永磁同步电机转子初始位置的检测方法[J].电机与控制学报,1997,1(1):1-5.
  - [3] 于洪宇,王洪伟,李海英,等.永磁同步电机转子位置的检测[J].中国电机工程学报,1998,18(10):1-5.
  - [4] 于洪宇,王洪伟,李海英,等.永磁同步电机转子位置的检测[J].中国电机工程学报,1998,18(10):1-5.
  - [5] 于洪宇,王洪伟,李海英,等.永磁同步电机转子位置的检测[J].中国电机工程学报,1998,18(10):1-5.
  - [6] 刘颖,周波,李帅,等.转子磁钢表贴式永磁同步电机转子初始位置检测[J].中国电机工程学报,1998,18(10):1-5.
  - [7] 任雷,崔芮华,王宗培,等.永磁同步电机绕组电感的饱和效应[J].电工技术学报,1998,13(10):1-5.
  - [8] 于艳君,高宏伟,柴凤,等.永磁同步电机转子磁极的极性判别方法[J].电机与控制学报,1998,13(10):1-5.

作者简介：何栋炜(yú dōng wéi)，男，博士，讲师。

ú 结语

本文提出了采用爪极偏移削弱聚磁式永磁爪极电机齿槽转矩的新方法<sup>b</sup>。基于电机二维简化模型，采用二维有限元软件计算齿槽转矩，并通过参数化方法确定了磁极极弧系数和爪极偏移量的较佳组合，验证了方法的有效性<sup>b</sup>。

参考文献

- [4] 王秀和, 杨玉波. 基于极弧系数选择的实心转子永磁同步电动机齿槽转矩削弱方法 [J]. 中国电机工程学报, 2010, 30(1): 1-6.
  - [5] 白海军, 张凤阁. 外永磁转子爪极电机转矩研究 [J]. 电机与控制学报, 2008, 12(1): 1-5.
  - [6] 王博. 轴向分段式永磁外转子爪极电机的性能分析 [D]. 沈阳: 沈阳工业大学, 2010.
  - [7] 杨玉波, 王秀和, 陈谢杰, 等. 基于不等槽口宽配合的永磁同步电机齿槽转矩削弱方法 [J]. 电工技术学报, 2010, 25(10): 1-6.
  - [8] 王秀和. 永磁电机 [M]. 北京: 中国电力出版社, 2006.
  - [9] 赵斌. 永磁外转子爪极发电机的设计与分析 [D]. 济南: 山东大学, 2008.

作者简介：耿振（yúyúān），男，硕士研究生，主要研究方向为永磁伺服电机。